

# 急速濾過池에 있어서 懸濁物 附着모델에 관한 研究

A Study on the Adhesion Model of the Deposit in Rapid Filter

姜 龍 太 \*  
柳 東 先 \*\*

## Abstract

This paper is a study on the adhesion model of the deposit in rapid filter.

In this paper, ellipse adhesion model modified was proposed. With that head-loss equation during filtration that is very consistent with the experimental value was derived.

In the design of the rapid filter, after this head-loss equation during filtration derived may contribute to the decision of optimum filter height.

## 要 旨

本研究는急速濾過池에 있어서 懸濁物 附着모델에 관한 연구이다.

今回の研究를 통하여修正橢圓形 附着모델을 提案하여 實測值와 잘 일치하는 濾過抵抗式을 誘導했다.

誘導된 이 濾過抵抗式은 今後急速濾過池 設計에 있어서 最適 높이決定에 寄與함으로써 經濟의인 急速濾過池를 設計하는데 中점을 두고 本研究를 施行하였다.

## 1. 序 論

急速濾過池에 있어서 閉塞濾層에 附着되어지는 懸濁物 抑留量을 解明하기 위해서는 濾過速度, 原水濁度, 濾材構成, 濾水水質, 凝集劑注入率 등 많은 變數의 測定이 필요하다. 그러나 지금까지는 附着狀態에 관해 明確하게 밝혀진 것이 없었고 濾過抵抗理論式도 實測值와 잘 일치되지 않아서 實際急速濾過池를 設計함에 있어서 問題點을 안고 있었다.

따라서 本研究는 이러한 問題點을 補完하기 위하여 濾過池 높이決定에 重要한 要素가 되는 濾過抵抗을 明確히 把握하여 實測值와 잘 일치되는 濾過抵抗式을 提案하고자 한다.

\* 東亞大學校 工科大學 副教授

\*\* 東亞大學校 工科大學 碩士課程

우선 끝과抵抗의 基礎理論인 Kozeny-Carmen 式으로 부터 球形濾材에 附着되어지는 抑留物이 球形濾材 表面에 동일하게 附着한다고 보고 球形附着모델에 의한 濾過抵抗式을 誘導하면 다음과 같다.

$$\frac{\Delta h}{\Delta h_0} = f \cdot \frac{\varepsilon_0^3}{(\varepsilon_0 + \sigma)^3} \cdot \frac{(1 - \varepsilon_0 + \sigma)^2}{(1 - \varepsilon_0)^2} \dots \quad (1.1)$$

$$\text{단 } f = \left(1 + \frac{\sigma}{1 - \varepsilon_0}\right)^{-\frac{2}{3}}$$

$f$  : 끝과抵抗係數

$\varepsilon_0$  : 初期空隙率

$\sigma$  : 懸濁物 抑留量

그러나 (1.1) 식은 實測值와 잘 맞지 않아 實際 適用이 不可能하므로 보다 正確한 끝과抵抗을 구할 수 있는 새로운 附着모델을 고안하여 實測值와 잘 일치되고 實際 適用이 가능한 끝과抵抗式을 提案하고자 한다.

## 2. 閉塞濾層의 끝과抵抗

閉塞濾層의 끝과抵抗은 閉塞의 程度에 따라 다르므로 懸濁物 抑留量  $\sigma$  的 함수형으로 되어진다.  $\sigma$ 는 濾層內의 位置에 따라 다르므로 끝과抵抗은 濾層의 미소두께  $\Delta z$ 의 끝과抵抗  $\Delta h$  와  $\sigma$ 의 관계 즉  $\frac{\partial h}{\partial z} = F(\sigma)$ 의 形으로 表示 할 수 있다. 지금까지 提案된 몇몇 끝과抵抗式을 정리하면 다음과 같다.

< 표 - 1 > 연구자에 의한 여과저항식의 차이<sup>2)</sup>

연 구 자	여 과 저 항 식	비 고
Ives(1960)	$\frac{\Delta h}{h_0} = \frac{f'}{f} \cdot \frac{r}{r_0} \cdot \left(\frac{\varepsilon_0}{\varepsilon_0 - \sigma}\right)^3 \cdot \left(\frac{1 - \varepsilon_0 + \sigma}{1 - \varepsilon_0}\right) \cdot \frac{\Delta z}{L}$	
Shekman (1961)	$\frac{\Delta h}{h_0} = \left(1 - \sqrt{1 - \frac{\varepsilon_0 - \sigma}{\varepsilon_0}}\right)^{-3} \cdot \frac{\Delta z}{L}$	$\frac{f'}{f} \left(\frac{\phi D}{\phi' D'}\right)^2 = 1$
Camp(1964)	$\frac{\Delta h}{h_0} = \left[ \sqrt{\frac{\sigma}{3(1 - \varepsilon_0)}} + \frac{1}{4} + \frac{\sigma}{3(1 - \varepsilon_0)} + \frac{1}{2} \right]^{-1}$ $\left(\frac{\varepsilon_0}{\varepsilon_0 - \sigma}\right)^3 \left(\frac{1 - \varepsilon_0 + \sigma}{1 - \varepsilon_0}\right)^2 \frac{\Delta z}{L}$	$\frac{f'}{f} = 1$ $\left(\frac{\phi D}{\phi' D'}\right)^2 = \left[\sqrt{\frac{\sigma}{3(1 - \varepsilon_0)}} + \frac{1}{4} + \frac{\sigma}{3(1 - \varepsilon_0)}\right]^{-1}$
Deb(1969)	$\frac{\Delta h}{h_0} = [1 + G(1 - 10^{-k\sigma})] \left(\frac{\varepsilon_0}{\varepsilon_0 - \sigma}\right)^3$	$\frac{f'}{f} \left(\frac{\phi D}{\phi' D'}\right)^2$ $= 1 + G(1 - 10^{-k\sigma})$ $G = 3.2 \quad k = 13.3$
Fujita <sup>3)</sup> (1976)	$\frac{h}{h_0} = 1 + \left[ a \left(\frac{\eta_0 \theta}{\varepsilon_0}\right) + b \left(\frac{\eta_0 \theta}{\varepsilon_0}\right)^2 \right] \frac{\phi D}{\eta_0 L}$	전여 과저항 $a, b$ 는 实驗치
Kang <sup>4)</sup> (1982)	$\frac{\Delta h}{h_0} = f \cdot \left(\frac{1 - \varepsilon_0 + \sigma}{1 - \varepsilon_0}\right)^2 \left(\frac{\varepsilon_0}{\varepsilon_0 - \sigma}\right)^3 \frac{\Delta z}{L}$	$f = a \exp(-b\sigma)$ $a = 1.07 \quad b = 7.76$

### 3. 實驗方法

#### 3.1 實驗裝置圖

實驗裝置는 다음과 같다.

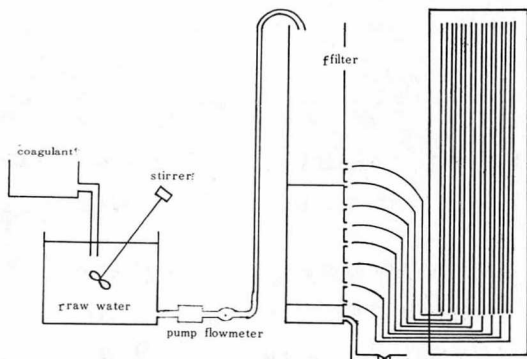


Fig 3-1 Filtration Equipment

#### 3.2 實驗器機 및 材料

本實驗에 使用된 器機는 濾過筒  $10 \times 10 \times 120\text{cm}$ 攪拌機 顯微鏡寫真機 등이고 材料는 자갈, 濾過砂, 카오린, 유산반토, 本校 水道水 등을 사용했다.

#### 3.3 實驗方法

水道水에 카오린과 유산반토의 一定量을 混合하여 攪拌機로 急速攪拌後 펌프를 통해 急速濾過池에 一定한 流速과 濾過時間동안 濾過시켜 抑留物이 附着하는 過程을 調査하였다.

### 4. 實驗結果 및 考察

閉塞濾層에서 Kozeny-Carman 式을 表示하면 다음 式이 成立한다.

$$\frac{\partial h}{\partial z} = \frac{h_0}{L} \cdot \frac{k'}{k_0} \left( \frac{\phi_0 D_0}{\phi D} \right)^2 \cdot \left( \frac{1 - \varepsilon_0 + \sigma}{1 - \varepsilon_0} \right)^2 \cdot \left( \frac{\varepsilon_0}{\varepsilon_0 - \sigma} \right)^3 \quad (4.1)$$

$h$  : 閉塞濾層의 濾過抵抗 [ $m$ ]

$k'$  : 閉塞濾層의 濾過抵抗係數 [-]

$\phi$  : 閉塞濾層의 濾材形狀係數 [-]

$D$  : 閉塞濾層의 濾材粒徑 [ $m$ ]

(4.1) 式을 微小濾層의 濾過抵抗比로 表示하면 다음과 같다.

$$\frac{\Delta h}{\Delta h_0} = \frac{k'}{k_0} \left( \frac{\phi_0 D_0}{\phi D} \right)^2 \cdot \left( \frac{1 - \varepsilon_0 + \sigma}{1 - \varepsilon_0} \right)^2 \cdot \left( \frac{\varepsilon_0}{\varepsilon_0 - \sigma} \right)^3 \quad (4.2)$$

위式에서  $f = \frac{k'}{k_0} \left( \frac{\phi_0 D_0}{\phi D} \right)^2$  라 두고  $f$  를

懸濁物 抑留量  $\sigma$ 의 합수로 간주하여 濾過抵抗係數  $f$  와  $\sigma$  와의 관계를 表示하면 Fig 4-1 과 같다.

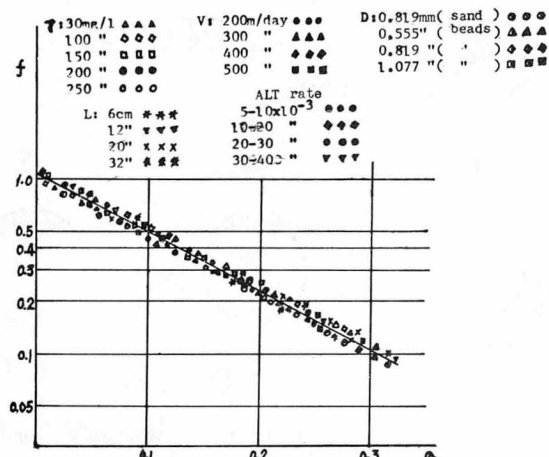


Fig 4-1 Correlation of Correction Coefficient and Specific deposit

Fig 4-1에서 알 수 있는 바와 같이 濁質의 濃度, 濾材의 粒徑, 濾材두께, 濾過速度, 凝集劑의 注入量의 變化에 관계없이  $\sigma$  가 증가할수록  $f$  的 値은 작아지므로 實際의 濾過抵抗은 적은 영향을 받는다는 것을 알 수 있다. 다시 말하면 濁質은 濾過抵抗이 서서히 증가하도록 附着한다.

한편 球形附着모델에 의한 濾過抵抗係數  $f$  는

$$f = \frac{k'}{k_0} \left( \frac{\phi_0 D}{\phi D} \right)^2 \quad \text{에서 } k', \phi \text{의 値은 球形}$$

濾材에 동일하게附着된다고 보면 값이 일정하며 결국  $(\frac{D_0}{D})^2$  만 남게되며 球形附着모델에 의한 濾過抵抗係數  $f$  는 다음과 같이 나타낼 수 있다.

$$\left(\frac{D_0}{D}\right) = \left(1 + \frac{\sigma}{1 - \varepsilon_0}\right)^{-\frac{2}{3}} \dots (4.3)$$

그러므로 球形附着모델에 의한 濾過抵抗式은 (4.2)식에  $f$  를 대입하여 表示하면 다음과 같다

$$\frac{\Delta h}{\Delta h_0} = \left(\frac{1 - \varepsilon_0 + \sigma}{1 - \varepsilon_0}\right)^2 \left(\frac{\varepsilon_0}{\varepsilon_0 - \sigma}\right)^3$$

$$\left(1 + \frac{\sigma}{1 - \varepsilon_0}\right)^{-\frac{2}{3}} \dots \dots (4.4)$$

그러나 (4.4)식은 Fig 4.2에서 알 수 있는 바와 같이 實測值와 잘 일치하지 않는다.

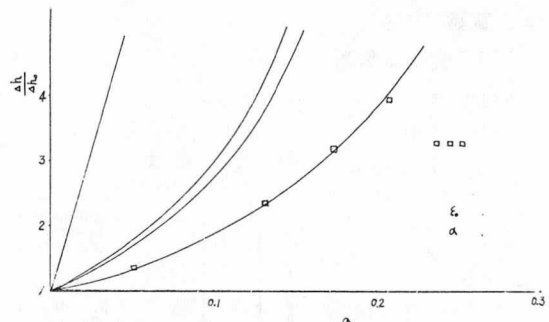


Fig 4-2 Comparison of Head-Loss Equations During Filtration

따라서 球形附着모델을 修正하여 實測值와 잘 일치하는 附着모델을 생각해 보기로 한다. 球形附着모델에 의한 濾過抵抗과는 달리 實際의 濾過抵抗은 작기 때문에 다음과 같은 附着狀態로 附着되어가는 부착모델을 가정할 수 있다.

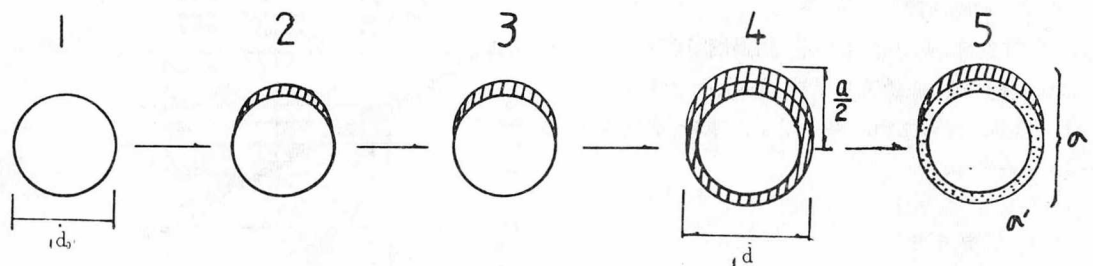


Fig 4-3 Adhesion Condition of Ellipse Model

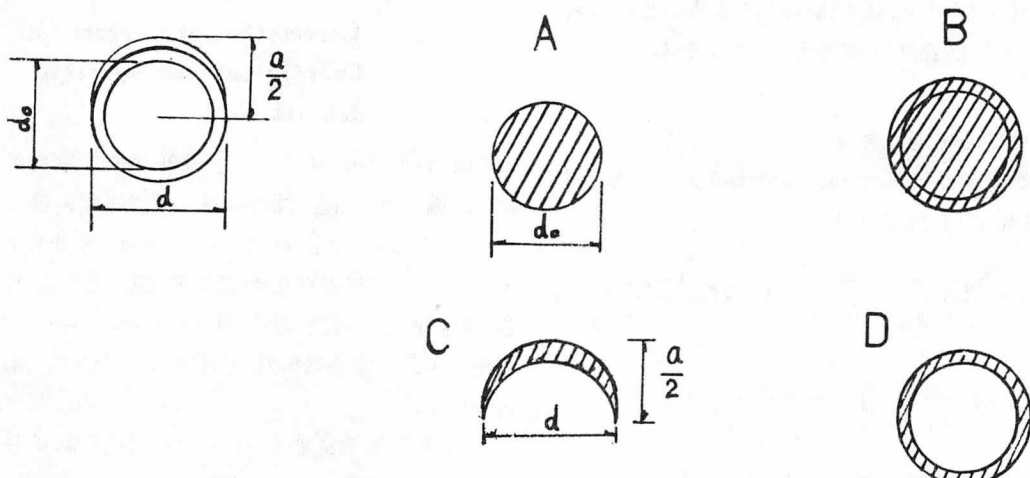


Fig 4-4 Computation of Effective Specific Deposit

Fig 4-3 과 같이 濁質은 (3)의 형상이 되기까지 濁材의 上부에만 附着하고 그후는 점점 橢圓形이 되도록 濁質이 附着되어 간다. 최종적인 附着狀態는 (4)의 형태가 되며 上半은 장축  $a$ , 단축  $d$ 의 橢圓形이고下半은 직경  $d$ 의 圓形이 된다. (4)의 그림을 구분하여 도식하면 fig 4-4 가 된다.

여기서 장축과 단축의 비  $\alpha = \frac{a}{d}$  라 두고 정리하면 (4.5)式으로 나타낼 수 있다.

$$\sigma = \left[ \frac{1 - \varepsilon_0}{\sigma'} \cdot \frac{\alpha - 1}{2} \left( 1 + \frac{\sigma'}{1 - \varepsilon_0} \right) + 1 \right] \sigma' \quad \dots \dots \dots (4.5)$$

여기서 有効懸濁物 抑留量  $\sigma'$  는 다음과 같다.

$$\sigma' = \left[ \sigma - \frac{\alpha - 1}{2} (1 - \varepsilon_0) \right] \frac{2}{\alpha + 1} \dots \dots \dots (4.6)$$

濁質은 濁過抵抗이 서서히 증가하도록 附着되어 간다고 보면 (C)부분의 懸濁物 抑留量은 濁過抵抗에 주는 영향이 작기 때문에 무시할 수 있다. 따라서 (D)부분만의 懸濁物 抑留量이 濁過抵抗의 증가에 영향을 준다고 생각할 수 있다. 따라서 懸濁物 抑留量  $\sigma$ 로부터 (4.6)式을 이용하여 有効懸濁物 抑留量  $\sigma'$ 를 구할 수 있다. 이 관계를 Fig.4-5에서 표시하면 직선  $\eta$ 가 된다.

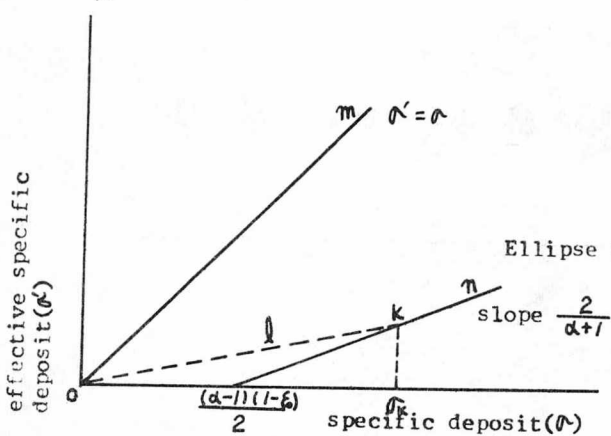


Fig 4-5 Relation of Effective Specific Deposit and Specific Deposit

여기에서  $\sigma$ 가  $0 < \sigma < \frac{(\alpha-1)(1-\varepsilon_0)}{2}$  의 구간에서  $\sigma'$ 가 負의 값이 되어 부자연스럽다. 이것은 Fig 4-3에서 (1),(2),(3)의 狀態까지는 懸濁物 抑留量이 증가하고 있으나 濁過抵抗에 有効한 有効懸濁物 抑留量  $\sigma'$ 는 0으로 간주되었기 때문이다. 따라서 橢圓모델과 球形모델을 융합시켜서  $\sigma$ 가 커져감에 따라 점점 橢圓모델로 변화하여  $\sigma$ 가 限界懸濁物 抑留量  $\sigma_k$  일 때 橢圓모델의 장축과 단축비  $\alpha$  값을 가지는 완전한 修正橢圓形모델로 생각할 수 있다. 점 O와 K를 연결하는 선은 修正된 橢圓모델을 선분  $\ell$ 로 나타낸 것이다. 이것으로부터 有効懸濁物 抑留量  $\sigma'$ 와 全懸濁物 抑留量  $\sigma$ 와의 관계를 수식으로 표시하면 다음과 같다.

$$\sigma' = \frac{1}{\sigma_k} \cdot \frac{2}{\alpha + 1} \left[ \sigma_k - \frac{(\alpha - 1)(1 - \varepsilon)}{2} \right] \sigma \dots \dots \dots (4.7)$$

이 (4.7)式에서 구한 有効懸濁物 抑留量  $\sigma'$ 를 (4.4)式의 懸濁物 抑留量  $\sigma$ 에 代入한 것과 微小濁層의 濁過抵抗比 (4.2)式으로 부터 다음식이 성립된다.

$$f = \left( \frac{1 - \varepsilon_0 + \sigma'}{1 - \varepsilon_0 + \sigma} \right)^2 \cdot \left( \frac{\varepsilon_0 - \sigma}{\varepsilon_0 - \sigma'} \right)^3.$$

$$\left( 1 + \frac{\sigma'}{1 - \varepsilon_0} \right)^{-\frac{2}{3}} \dots \dots \dots (4.8)$$

$$\text{단 } \sigma' = \frac{1}{\sigma_k} \cdot \frac{2}{\alpha + 1} \left[ \sigma_k - \frac{(\alpha - 1)(1 - \varepsilon_0)}{2} \right] \alpha$$

$$\left( \frac{\alpha - 1}{2} (1 - \varepsilon_0) \right)$$

이 경우 일반적으로 初期空隙率  $\varepsilon_0$  가 0.4일 때 限界懸濁物 抑留量  $\sigma_k$  가 0.3의 크기를 가지며<sup>6)</sup> 修正된 橢圓形모델의  $\alpha$  값을 1.3정도가 實測值와 가장 잘 근사하는 것을 알 수 있다.

## 5. 結論

急速濾過池의 濾材에 附着되는 懸濁物 附着모델을 解明하여 본 결과 球形附着모델에 의한 濾過抵抗 理論式은 實測值와 잘 맞지 않고 濾材 表面에 附着되는 懸濁物은 球形으로 附着되는 것 이 아니라 濾過抵抗에 적은 영향을 미치는 橢圓形 또는 이와 有似한 형태로 附着한다고 볼 수 있는 修正橢圓形 附着모델을 提案할 수 있었다. 이것을 정리하여 濾過抵抗係數를 수식으로 表示하면 (4.8)式으로 된다. 따라서 修正橢圓形 附着모델에 의해 誘導된 濾過抵抗係數를 고려한 濾過抵抗式을 適用하면 實測值와 잘 일치하며 今後 急速濾過池의 經濟的인 濾過池의 높이 設定에 도움을 기할 수 있으리라 생각한다.

## 参考文獻

1. 白井隆, “流動層”科學技術, 1965.
2. 井出哲夫編 “水處理工學”技報堂 1980.  
(pp. 108 ~ 110).
3. 藤田賢二 “急速濾過池の設計に関する研究”  
東京大學學位論文, 1976.
4. 姜龍太 “急速濾過池の濾過速度と濾材構成  
の研究”東京大學學位論文, 1982.
5. 姜龍太 “急速濾過池の濾過抵抗に関する研  
究”第32回日本水道研究發表集  
pp. 314 ~ 316, 1981.
6. 4와 같음

水道人の指標

보다 좋은 물, 보다 풍부한 물, 보다 찬 물